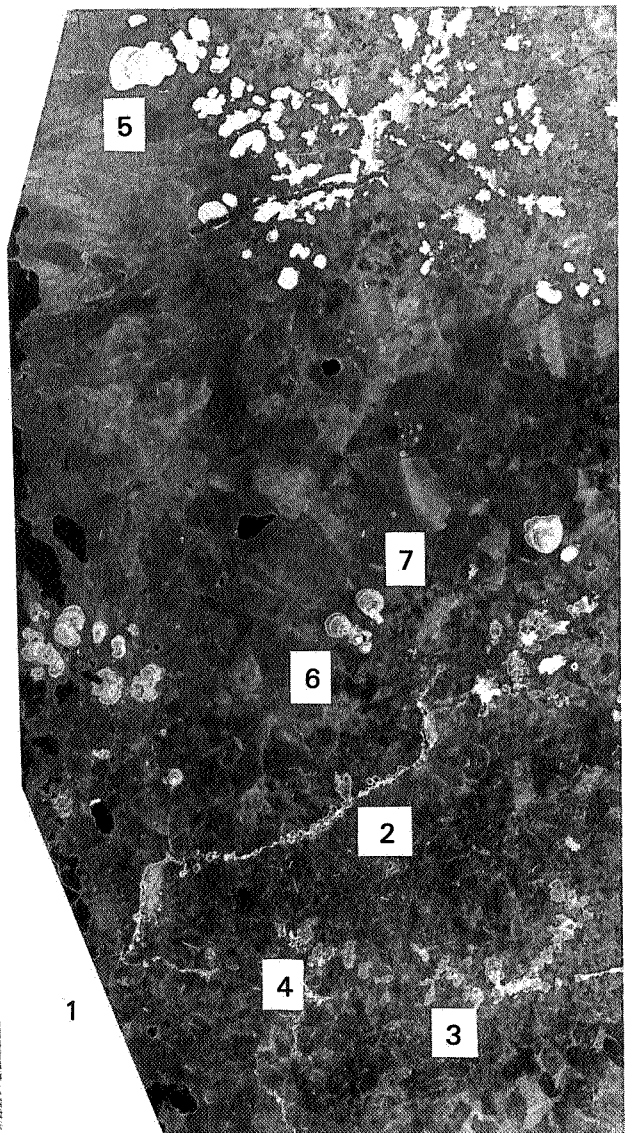
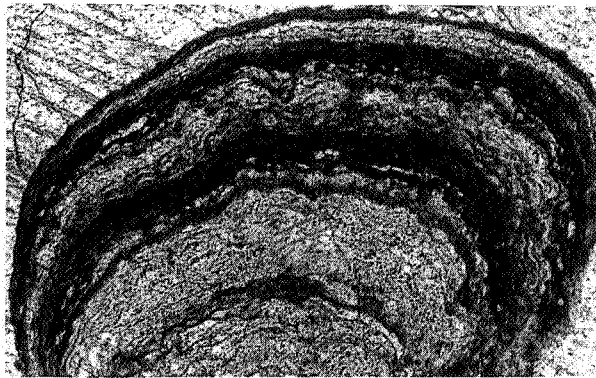
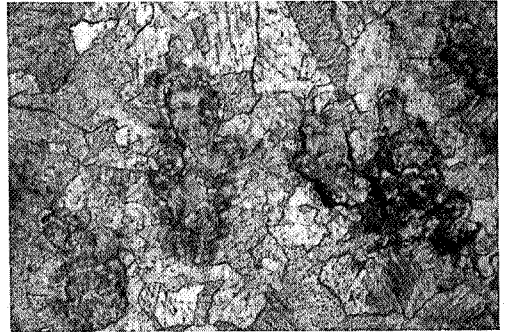
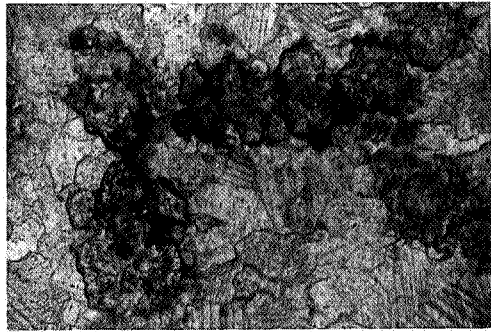
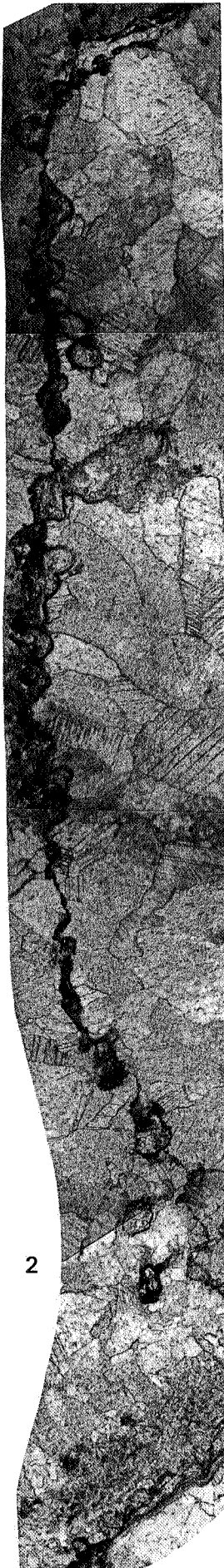


## PLANCHE I

Toutes les photos proviennent de l'échantillon HMC 9, carrière de Hautmont, Vodelée, Frasnieu "F2j", Griottes Supérieures, à 13 m du contact avec les schistes noduleux.

1. : HMC 9, lame H, tirage négatif de l'original, avec position des différentes photos ; X 4,2.
2. : MAMET 645/7,8,9,10, X 22 ; voile bactérien avec poussées microstromatolithiques des deux côtés du voile (voir aussi text. fig. 4).
3. : MAMET 645/6, X 26 ; amas de cloques hématitisées.
4. : MAMET 645/5, X 26 ; amas de cloques à peine distinguables du ciment.
5. : MAMET 645/13, X 54 ; détail d'une colonne microstromatolithique avec simulation de tubes.
- 6 & 7 : MAMET 645/12 et 645/11, X 54 ; deux colonnes microstromatolithiques.

PLANCHE I

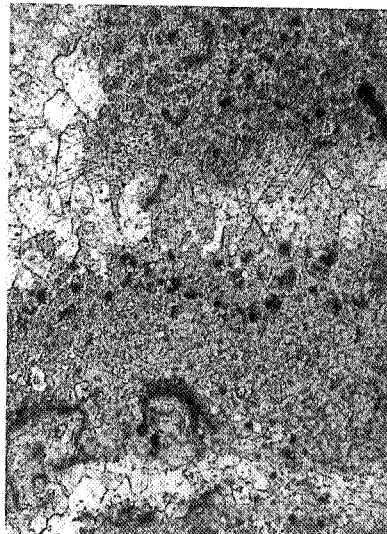
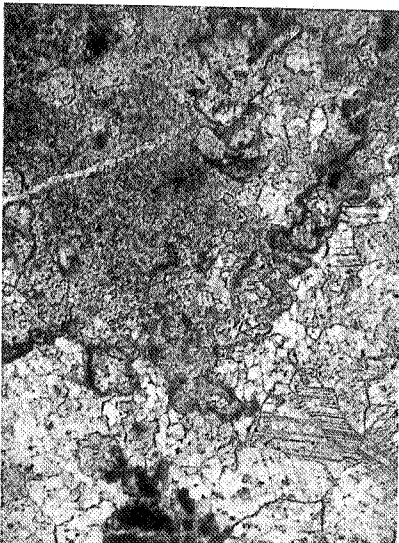
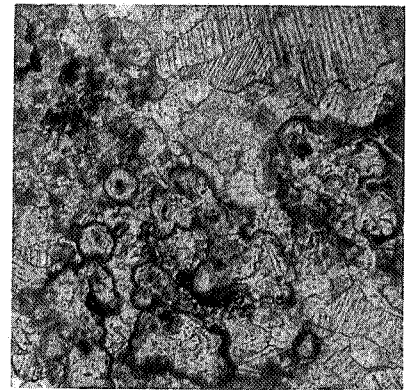
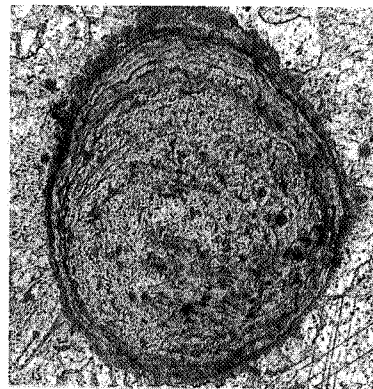
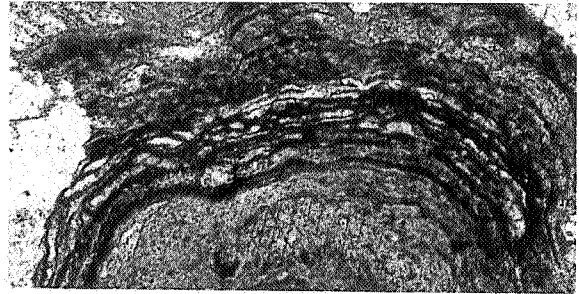
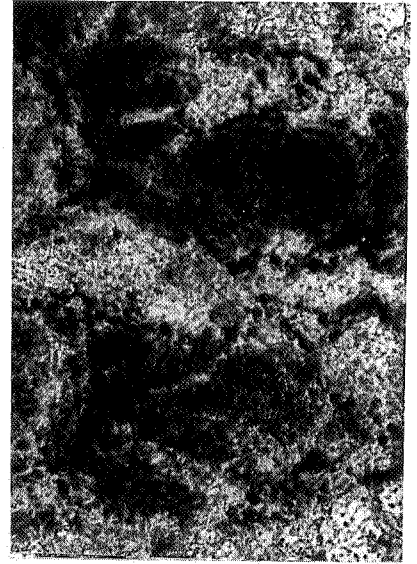
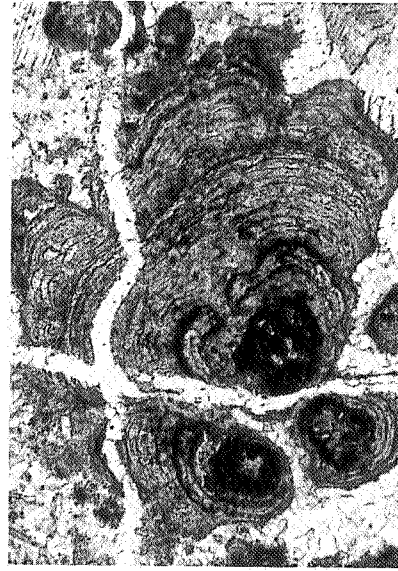


## PLANCHE II

Toutes les photos proviennent de l'échantillon HMC 16, carrière de Hautmont, Vodelée, Frasnieu "F2j", Griottes Supérieures, à 16 m du contact avec les schistes noduleux.

1. : HMC 16, tirage négatif de l'original, avec position de diverses photos ; X 4,2.
2. : MAMET 643/24, X 22 ; section oblique d'un ensemble de colonnes.
3. : MAMET 644/15, X 335 ; détail de microstromatolithe (partie pseudo-Epiphytale).
4. : MAMET 643/23, X 54 ; détail d'une colonne microstromatolithique avec simulation de tubes d'*Aphralysia* ; il s'agit en réalité de laminations crénelées.
5. : MAMET 643/19, X 54 ; coupe perpendiculaire à l'allongement d'une colonne.
6. & 7. : MAMET 643/20 et 643/25, X 54 ; amas de cloques partiellement hématisées.
8. : MAMET 642/17, X 24 ; amas de pellets de Spongiostromates.
9. : MAMET 643/18, X 24 ; coupes perpendiculaires à l'allongement de colonnes.

PLANCHE II



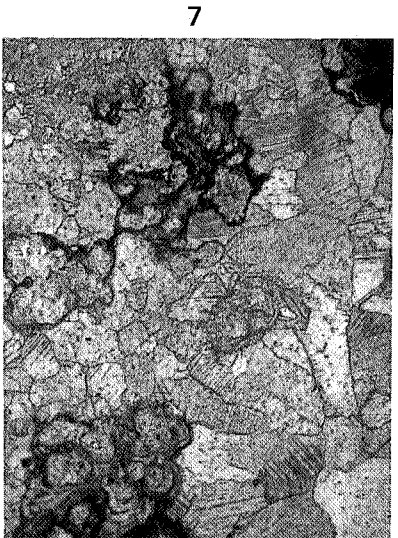
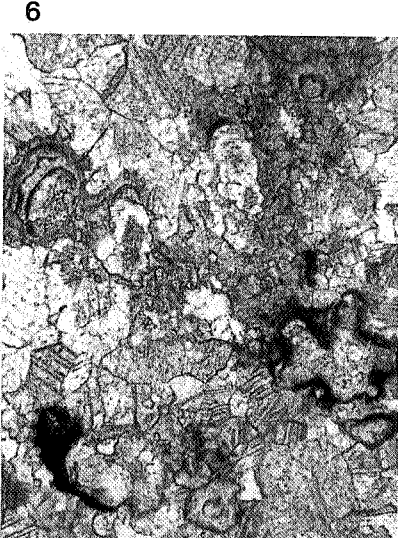
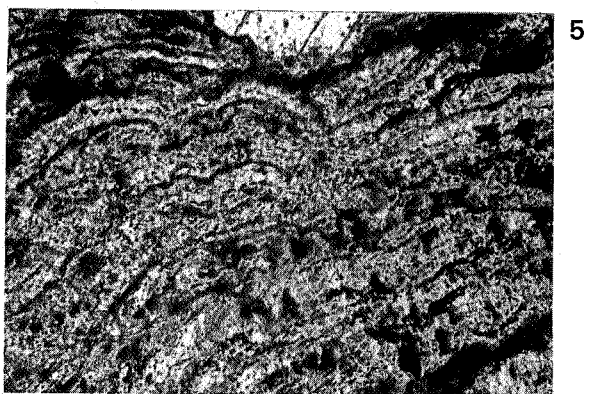
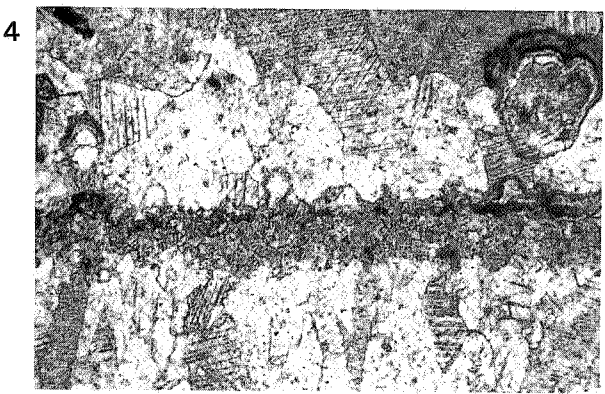
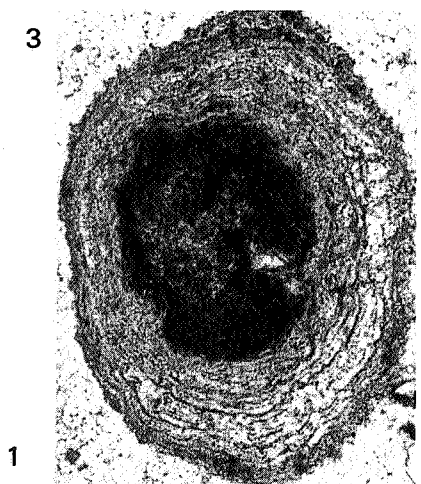
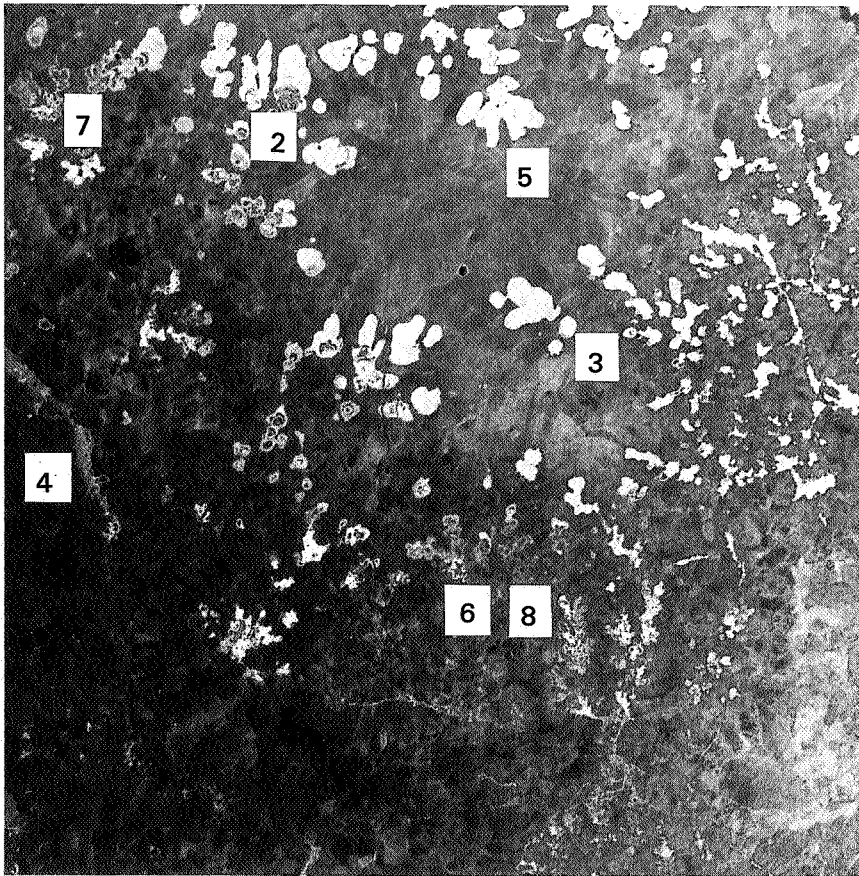
### PLANCHE III

Toutes les photos proviennent de l'échantillon HMC 9  
(comme planche I).

1. : HMC 9, tirage négatif de la lame originale, avec position des diverses photos, X 4,2.
2. : MAMET 643/12, X 24 ; trois colonnes microstromatolithiques.
3. : MAMET 643/10, X 85 ; section perpendiculaire à l'allongement d'une colonne.
4. : MAMET 643/36, X 26 ; voile bactérien avec poussée de stromatolithes.
5. : MAMET 643/2, X 335 ; détail de microstromatolithes (partie colonnaire) montrant les fines laminations micrométriques.
- 6., 7. & 8. : MAMET 643/7, X 54, 643/13, X 24, 643/8, X 54 ; amas de cloques baignant dans le ciment.



PLANCHE III

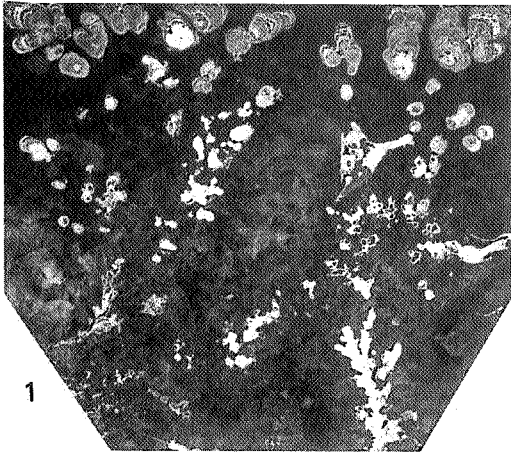


#### PLANCHE IV

Toutes les photos proviennent de l'échantillon HMC 9 (comme planche I).

1. : HMC 9, lame C, tirage négatif, X 4,2.
2. : HMC 9, lame D, tirage négatif, X 4,2, avec position des photos 3 et 7.
3. : MAMET 644/1, X 22 ; colonne microstromatolithique.
4. : MAMET 643/15, X 54 ; colonne microstromatolithique.
5. : MAMET 643/4, X 335 ; détail de microstromatolithe (partie colonnaire).
6. : MAMET 643/11, X 22 ; cloques fortement hématitisées.
7. : MAMET 644/3, X 54 ; détail de la colonne de la figure 2 montrant les crénulations.

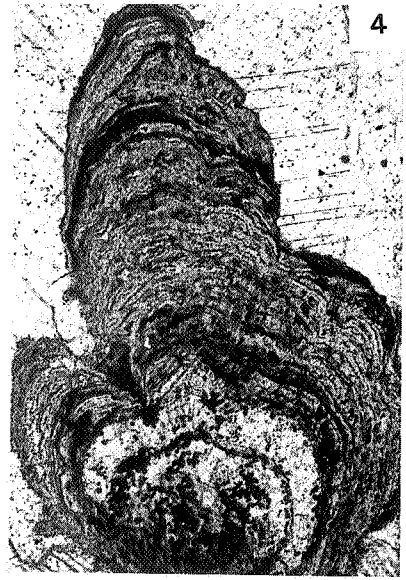
PLANCHE IV



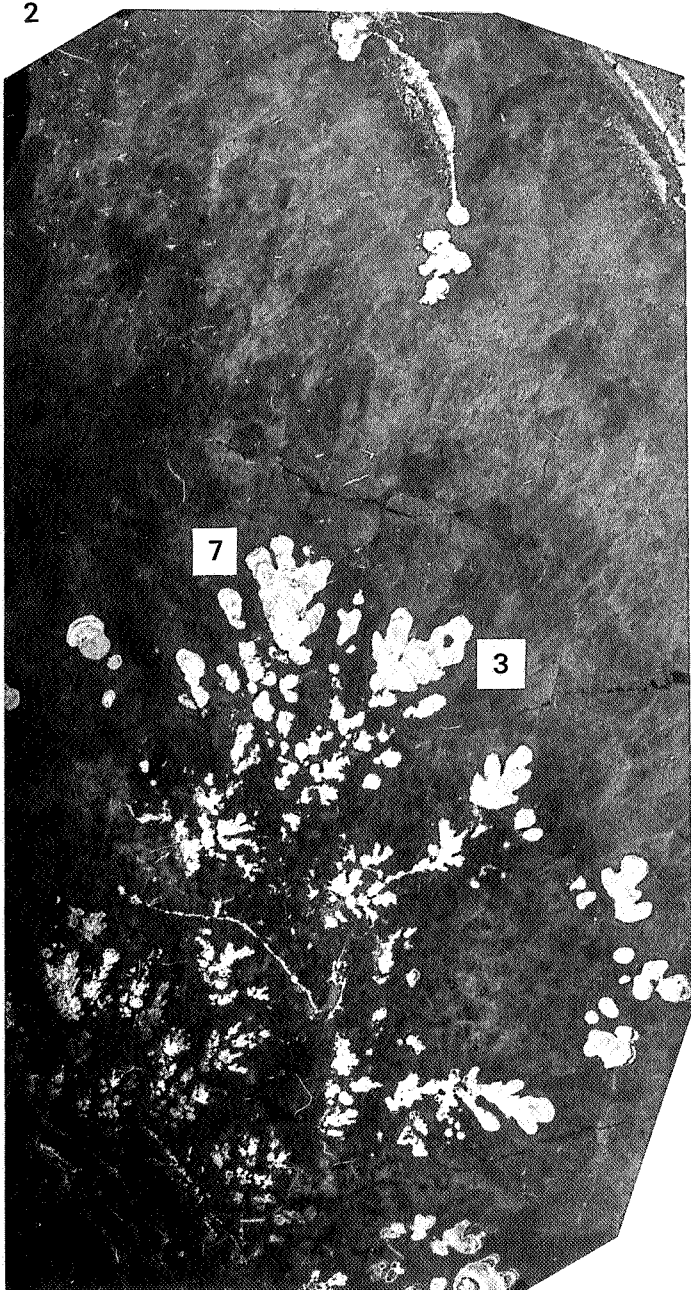
1



3



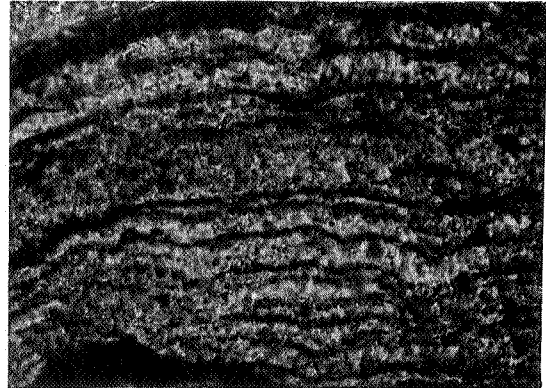
4



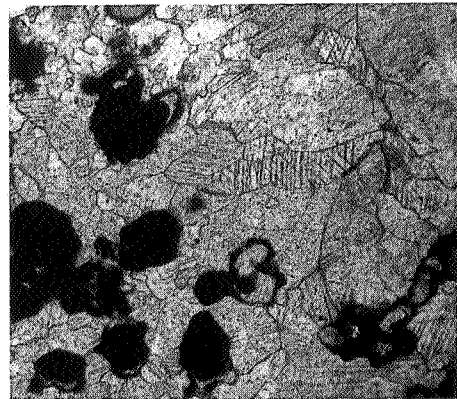
2

7

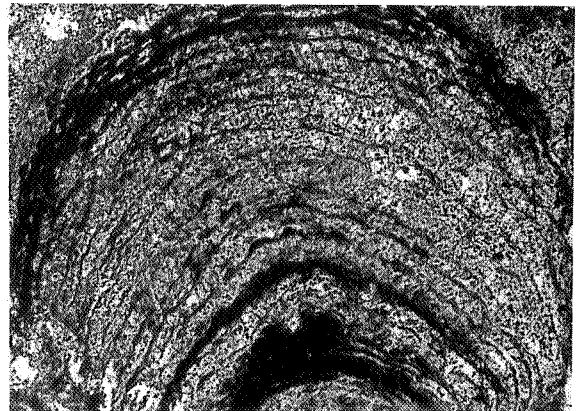
3



5



6



7



# **Ciments d'Obourg s.a.**

Ciments Portland à la pouzzolane PPz30

Ciments Portland P 40, P 50.

Ciments de haut fourneau HL 30, HK 40.

Concassés calcaires secs et lavés de tous calibres.

Sables spéciaux pour constructions.

Sables de concassage et fillers pour routes.

Mélanges spéciaux pour fondations de routes (graves laitier  
(graves chlorure

Chaux hydraulique artificielle.

**Administration centrale et direction générale**

**7048 OBOURG**